

曲げと軸方向圧縮力を受けるRC部材の終局耐力

秋田大学 正員 川上 淳
秋田大学 学生員 平田昌樹
秋田大学 学生員 沢味猪三夫

1. まえがき

軸圧縮力および二軸曲げを受ける矩形断面の鉄筋コンクリート部材に関する応力計算および設計法は、A. Roussopoulos¹⁾およびE. Fischer²⁾はじめり、その後の研究の発展とともに、種々の断面について計算式が導かれてきた。さらに、一般的な計算式として、海老沢³⁾は、軸圧縮力および二軸曲げを受ける任意形断面の鉄筋コンクリート部材の応力解析を行った。しかし、これらは、いずれも弹性計算であり、限界状態設計による耐力の検討が必要である。本研究は、海老沢の弾性理論を終局状態まで拡張し、軸方向圧縮力と曲げを受けるRC部材の耐力を解析的に検討するものである。

2. 假定条件

- 1) 平面保持の假定が成り立つ。
- 2) コンクリートの引張抵抗は無視する。
- 3) 破壊の終局限界状態は、コンクリート最大圧縮ひずみ ε_c^* が 0.35% に達したとき生ずる。
- 4) コンクリートの応力-ひずみ関係は、図-1 のようにパラボラと台形の組合せとする。
- 5) 鉄筋に対する応力-ひずみ関係は、図-2 のように、完全弾塑性である。

3. 解析理論

図-3 の任意形断面をもつ鉄筋コンクリート部材に心外斜偏心圧縮力 N が作用するととき任意の点におけるコンクリートの圧縮応力は、式(1)のとおりである。

$$\frac{\sigma_c}{\sigma_c^*} = \begin{cases} -\left(\frac{1}{r_d \sqrt{a^2+b^2}}\right)^2 \left\{ (b^2+a^2-ab) \left(b^2 + a^2 - ab - 2r_d \sqrt{a^2+b^2} \right) \right\} & (0 \leq \frac{\varepsilon_c}{\varepsilon_c^*} \leq 1) \\ -\frac{b}{1-r_d \sqrt{a^2+b^2}} (b^2+a^2-ab) + \left(1 + \frac{b}{1-r_d \sqrt{a^2+b^2}}\right) & (1 \leq \frac{\varepsilon_c}{\varepsilon_c^*} \leq r_d) \end{cases} \quad \dots \dots (1)$$

一方、鉄筋の引張りおよび圧縮応力は、各々式(2)(3)で与えられる。

$$\sigma_{s1} = \begin{cases} \frac{E_s \cdot \varepsilon_s^*}{a_d^2 \sqrt{a^2+b^2}} (b x_{s1} + a y_{s1} - ab) & (\text{弹性域}) \\ \sigma_{sy} & (\text{塑性域}) \end{cases} \quad \dots \dots (2)$$

$$\sigma_{s1}' = \begin{cases} \frac{E_s \cdot \varepsilon_s^*}{a_d^2 \sqrt{a^2+b^2}} (b x_{s1}' + a y_{s1}' - ab) & (\text{弹性域}) \\ \sigma_{sy}' & (\text{塑性域}) \end{cases} \quad \dots \dots (3)$$

さうに、力および曲げモーメントのつりあい式は、式(4),(5),(6)に示すとおりである。

$$N = C + C' - T = \int_{A_c} \sigma_{c1} dA_c + \sum \sigma_{s1} a_{s1} - \sum (-\sigma_{s1} a_{s1}) \quad \dots \dots (4)$$

$$M_x = N \cdot e_y = \int_{A_c} \sigma_{c1} y dA_c + \sum \sigma_{s1} y_{s1} a_{s1} + \sum \sigma_{s1}' y_{s1}' a_{s1}' \quad \dots \dots (5)$$

$$M_y = N \cdot e_x = \int_{A_c} \sigma_{c1} y dA_c + \sum \sigma_{s1}' x_{s1}' a_{s1} + \sum \sigma_{s1} x_{s1} a_{s1} \quad \dots \dots (6)$$

軸力が 0 で曲げのみが作用する場合は、式(4)より

$$C + C' - T = 0 \quad \dots \dots (7)$$

より η に関する積分項は、ガウスの積分定理を用いて線積分に置きかえると、図-3をモデル化した図-4では、次のようになる。
 $G_{mn} = \iint \eta^n dA = \frac{1}{n+1} \int_0^{x_1} (x_1 + t)^n (y_1 + \frac{dy}{dx} t)^{n+1} dt$

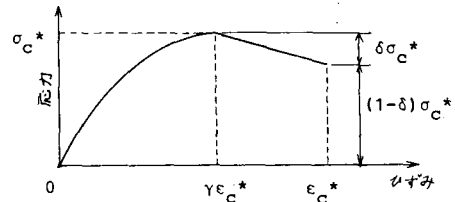


図-1 コンクリートの応力-ひずみ曲線

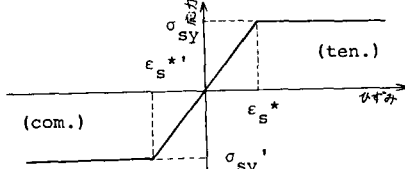


図-2 鉄筋の応力-ひずみ曲線

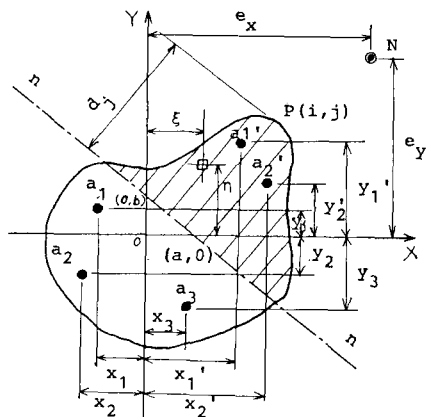


図-3 任意形断面

$$G_{10} = A = \frac{1}{2} \sum (x_{i+1}y_i - x_iy_{i+1}), \quad G_{11} = G_{20} = \frac{1}{2} \sum (x_{i+1}x_i) \left\{ y_i^2 + \frac{1}{3}(y_{i+1}-y_i)(y_{i+1}+2y_i) \right\}$$

$$G_{12} = G_8 = -\frac{1}{2} \sum (y_{i+1}-y_i) \left\{ x_i^2 + \frac{1}{3}(x_{i+1}-x_i)(x_{i+1}+2x_i) \right\}$$

$$G_{21} = I_x = \frac{1}{3} \sum (x_{i+1}-x_i) \left\{ y_i^3 + \frac{1}{6}(y_{i+1}-y_i)(y_{i+1}+2y_i)^2 + \frac{1}{12}(y_{i+1}-y_i)^3 \right\}$$

$$G_{22} = I_y = -\frac{1}{3} \sum (y_{i+1}-y_i) \left\{ x_i^3 + \frac{1}{6}(x_{i+1}-x_i)(x_{i+1}+2x_i)^2 + \frac{1}{12}(x_{i+1}-x_i)^3 \right\}$$

$$G_{31} = I_{xy} = -\frac{1}{2} \sum (y_{i+1}-y_i) \left\{ \frac{x_i^2}{2}(y_{i+1}+y_i) + \frac{1}{36}(x_{i+1}-x_i)^2(y_{i+1}-y_i) \right\}$$

$$+ \frac{1}{9}(x_{i+1}-x_i)(x_{i+1}+2x_i)(2y_{i+1}+y_i) \right\}$$

$$G_{32} = K_1 = \frac{1}{2} \sum (x_{i+1}-x_i) \left\{ x_i^2 y_i^2 + y_i^2(x_{i+1}-y_i) + x_i y_i^2(x_{i+1}-x_i) + \frac{1}{3} x_i^2(y_{i+1}-y_i)^2 \right\}$$

$$+ \frac{4}{3} x_i y_i (x_{i+1}-x_i)(y_{i+1}-y_i) + \frac{1}{3} y_i^2 (x_{i+1}-x_i)^2 + \frac{1}{2} x_i (y_{i+1}-y_i)^2 (x_{i+1}-x_i)$$

$$+ \frac{1}{2} y_i (y_{i+1}-y_i)(x_{i+1}-x_i)^2 + \frac{1}{5} (y_{i+1}-y_i)^3 (x_{i+1}-x_i)^2 \right\}$$

$$G_{41} = K_2 = \frac{1}{3} \sum (x_{i+1}-x_i) \left\{ x_i y_i^3 + \frac{1}{2} y_i^2 (x_{i+1}-x_i) + \frac{2}{3} y_i^2 x_i (y_{i+1}-y_i) + x_i y_i (y_{i+1}-y_i)^2 \right\}$$

$$+ y_i^2 (y_{i+1}-y_i)(x_{i+1}-x_i) + \frac{3}{4} y_i^2 (y_{i+1}-y_i)^2 (x_{i+1}-x_i) + \frac{1}{4} x_i^2 (y_{i+1}-y_i)^3$$

$$+ \frac{1}{5} (y_{i+1}-y_i)^3 (x_{i+1}-x_i) \right\}$$

$$G_{42} = K_3 = \frac{1}{4} \sum (x_{i+1}-x_i) \left\{ y_i^4 + 2 y_i^3 (y_{i+1}-y_i) + 2 y_i^2 (y_{i+1}-y_i)^2 + y_i (y_{i+1}-y_i)^3 + \frac{1}{5} (y_{i+1}-y_i)^4 \right\}$$

$$G_{50} = K_4 = \sum (x_{i+1}-x_i) \left\{ x_i^3 y_i + \frac{3}{2} x_i^2 y_i (x_{i+1}-x_i) + \frac{1}{2} x_i^3 (y_{i+1}-y_i) + x_i y_i (x_{i+1}-x_i)^2 + x_i^3 (y_{i+1}-y_i)(x_{i+1}-x_i) + \frac{1}{4} y_i (x_{i+1}-x_i)^3 + \frac{3}{4} x_i (y_{i+1}-y_i)(x_{i+1}-x_i)^2 \right. \\ \left. + \frac{1}{5} (y_{i+1}-y_i)(x_{i+1}-x_i)^3 \right\} \quad \dots \dots \dots (8)$$

したがつて、式(4)～(6)に、次のような簡略形 $\beta_1 \sim \beta_3, \gamma_1, \gamma_2$ および $\alpha_1 \sim \alpha_9$ を用ひて、式(4)'～(6)'を得る。

$$\beta_1 = -\frac{1}{2} d_1 \sqrt{a^2 + b^2}, \quad \beta_2 = -2(ab + r d_1 \sqrt{a^2 + b^2}), \quad \beta_3 = (ab + 2r d_1 \sqrt{a^2 + b^2}), \quad \beta_4 = -\delta/(1-r), \quad \beta_5 = d_1 \sqrt{a^2 + b^2} (1 + \frac{\delta r}{1-r})/ab$$

$$\beta_6 = b k_1, \quad \beta_7 = a k_2, \quad \beta_8 = b I_{yc1}, \quad \beta_9 = a I_{xc1}, \quad \beta_{10} = b k_4, \quad \beta_{11} = 2 k_2, \quad \beta_{12} = 2 k_1, \quad \beta_{13} = a k_2, \quad \gamma_1 = \frac{E_s \varepsilon_s^*}{\sigma_s^*}, \quad \gamma_2 = \frac{d_2 \sqrt{a^2 + b^2}}{\sigma_s^* ab}$$

$$\alpha_1 = \beta_1 \beta_6 + \beta_1 \beta_7 I_{yc1} + \beta_1 I_{yc2} + \gamma_1 (I_{yc1} + I_{yc2})$$

$$\alpha_2 = \beta_1 \beta_7 + \beta_1 \beta_2 I_{xc1} + \beta_4 I_{xc2} + \gamma_1 (I_{xc1} + I_{xc2})$$

$$\alpha_3 = -\beta_1 \beta_6 - \beta_1 \beta_3 G_{xc1} + (\beta_6 - \beta_5) G_{xc2} + \gamma_1 (G_{yc1} + G_{yc2}) - \gamma_2 (G_{xp} - G_{sp}) \quad \alpha_4 = \beta_1 \beta_8 + \beta_1 \beta_2 G_{yc1} + \beta_4 G_{yc2} + \gamma_1 (G_{yc1} + G_{yc2})$$

$$\alpha_5 = \beta_1 \beta_9 + \beta_1 \beta_3 G_{xc1} + \beta_4 G_{xc2} + \gamma_1 (G_{xc1} + G_{xc2}) \quad \alpha_6 = -2 \beta_1 I_{yc1} - \beta_1 \beta_3 A_{c1} + (\beta_4 - \beta_5) A_{c2} + \gamma_1 (A_{sc} + A_{se}) - \gamma_2 (A_{sp} - A_{rp})$$

$$\alpha_7 = \beta_1 \beta_6 + \beta_1 \beta_2 I_{yc1} + \beta_4 I_{yc2} + \gamma_1 (I_{yc1} + I_{yc2}) \quad \alpha_8 = \beta_1 \beta_9 + \beta_1 \beta_2 I_{yc1} + \beta_4 I_{yc2} + \gamma_1 (I_{yc1} + I_{yc2})$$

$$\alpha_9 = -\beta_1 \beta_2 - \beta_1 \beta_3 G_{yc1} + (\beta_4 - \beta_5) G_{yc2} + \gamma_1 (G_{ysc} + G_{ysc}) - \gamma_2 (G_{ysp} - G_{ysp})$$

$$N = \frac{\sigma_s^*}{d_1 \sqrt{a^2 + b^2}} (bd_1 + ad_5 - abd_4) \quad \dots \dots \dots (4)' \quad M_x = \frac{\sigma_s^*}{d_1 \sqrt{a^2 + b^2}} (bd_1 + ad_2 - abd_3) \quad \dots \dots \dots (5)' \quad M_y = \frac{\sigma_s^*}{d_1 \sqrt{a^2 + b^2}} (bd_2 + ad_8 - abd_9) \quad \dots \dots \dots (6)'$$

a) 軸方向力と曲げを同時に受ける場合

式(4)'～(6)'より $a \neq 0, b \neq 0, N \neq 0$ として

$$\alpha = \frac{(d_1 - e_y d_4)(d_9 - e_x d_5) - (d_7 - e_x d_4)(d_2 - e_y d_5)}{(d_3 - e_y d_4)(d_8 - e_x d_4) - (d_1 - e_x d_4)(d_2 - e_y d_4)}$$

$$b = \frac{(d_2 - e_y d_5)(d_7 - e_x d_4) - (d_8 - e_x d_5)(d_1 - e_y d_4)}{(d_3 - e_y d_4)(d_7 - e_x d_4) - (d_1 - e_x d_4)(d_2 - e_y d_4)} \quad \dots \dots \dots (9)$$

b) 曲げのみ受ける場合

a) と同様に、式(5)'～(6)'～(7)の関係から

$$\alpha = \frac{d_5 (M_y d_1 - M_x d_7) - d_6 (M_y d_2 - M_x d_8)}{d_5 (M_y d_3 - M_x d_9) - d_6 (M_y d_4 - M_x d_8)}$$

$$b = \frac{d_4 (M_y d_2 - M_x d_8) - d_5 (M_y d_1 - M_x d_7)}{d_4 (M_y d_3 - M_x d_9) - d_6 (M_y d_4 - M_x d_7)} \quad \dots \dots \dots (10)$$

式(9)または、式(10)で得られた、 a, b により、中立軸の位置が決定する。これより、任意形断面に対し、任意の位置に圧縮力が作用するとき、または、二軸曲げに対し、その断面の耐力は、式(4), (5), (6)により与えられ、設計に供する終局時の状態に対するインターラクション・カーブをも得ることができる。なお、数値計算結果については、紙面の都合で省略するが、当日発表の予定である。

参考文献

- 1) A. Roussopoulos : Die allgemeine Lösung des Problems des exzentrisch beanspruchten Eisenbetonquerschnittes (Schiefe Biegung mit Axialkraft), Beton und Eisen, 38 JG, Ht.5, 5 März 1939
- 2) E. Fischer : Ueber die Bemessung des Eisenbetonrechteckquerschnittes in Falle schiefer Biegung, Beton und Eisen, 38 JG, Ht.3, 5 Feb. 1939
- 3) 海老沢・中山・大地：任意形断面をもつ鉄筋コンクリート部材の応力算定、土木学会 pp.22~27, 1977年11月号。

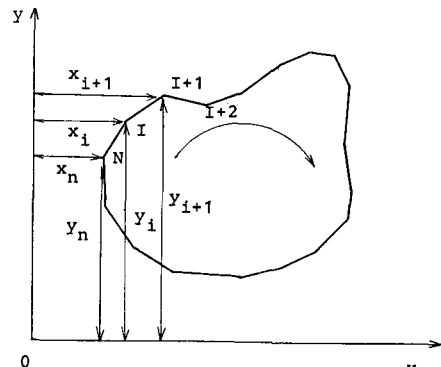


図-4 断面積分法